

## 流れによる底泥の浮上に関する考察

徳島大学工業短期大学部 正会員 細井由彦

1 まえがき 都市河川の水質に底泥が重要な影響をあらわすことが指摘され、底泥に関する種々の研究が行なわれるようになってきた。ここでは限界掃流力をえた流水状態における底泥の浮上量について、とくに含水比の影響を中心にして若干の考察を行なつ。

2 底泥の浮上に関する実験結果 長さ 10m、幅 0.3m の開水路（勾配 1/600）の路床部に長さ 90cm、幅 15cm、深さ 2cm の凹部を設けて泥を敷いた後、水を流し底泥の浮上実験を行なつた。使用した泥は吉野川河口より採取した、比重 2.69、平均粒径 17.5μ の粘着性をもつたものである。

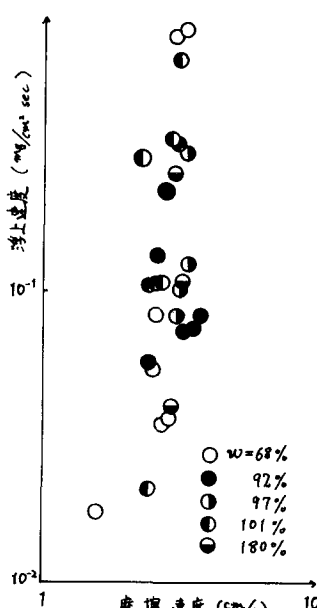


図-1 摩擦速度と浮上量との関係

ため詳しくはわからないが、含水比の増加が必ずしも浮上量の増加につながっているとはいいがたいようである。そこで含水比を考慮した底泥の浮上に関するモデルを考え、含水比のあらわす影響について検討を試みる。

3 更新理論を用いた底泥の浮上モデル Einstein, Lu<sup>1)</sup> は周期的な粘性底層の形成・破壊モデルを考えた。すなはち、ある時間、流れは壁面までやってくるが shear により

減速され、粘性が支配的な層が成長するが、ついには不安定になり主流部と混合されるという過程がくり返されるものと考えた。そして粘性底層に対して次式を考えた。 $\frac{\partial u}{\partial t} = \nu \frac{\partial^2 u}{\partial y^2}$  (1) ここで  $u$  は水平方向流速、 $y$  は壁面を原点に鉛直上向きと正とする。 $\nu$  は水の動粘性係数、 $t$  は時間である。 $t=0$ において乱れが壁面までやってくると考へ、(2)に示す条件で (1) を解くと、式(3)～(5)のような結果を得る。

$$\left. \begin{array}{l} t=0, y=0, u=u_0 \\ t>0, y=0, u=0 \end{array} \right\} \quad (2)$$

$$t>0, y \rightarrow \infty, u=u_0 \quad (3)$$

$$u=u_0 \exp\left(-\frac{y}{2\sqrt{\nu t}}\right) \quad (4)$$

$$t=\tau \left(\frac{u_0}{\nu}\right)^2 = \tau U_0 \sqrt{\frac{U_0}{\nu}} \exp\left(-\frac{y^2}{4\nu t}\right) \quad (5)$$

以上のモデルを基礎に、粘性底層の成長期に応じて底泥が掃流され、破壊・混合時にそれらが主流部へ運ばれるという更新理論による底泥浮上モデルを検討してみる。すなはち底泥の浮上は泥による泥の流動化と乱れによる混合の二段階によりおこると考へる。

いま粘性底層の一周期の運動の間に流動化・混合される泥層の厚さを  $l$  とし、そこに占める泥の密度および体積をそれぞれ  $\rho_w, v_w$ 、水に関するものを  $\rho_s, v_s$  とする。(図-2 に示す) 含水比  $w$  は次式で表わされる。

$$w = \frac{\rho_w v_w}{\rho_s v_s} \quad (6)$$

泥表面積を  $a$  とするとつきの関係がなりたつ。

$$a \cdot l = v_s + v_w \quad (7)$$

式(6),(7)より次式を得る。

$$v_s = \frac{a \cdot l}{1 + w \frac{\rho_s}{\rho_w}} \quad (8)$$

したがって一度の混合により浮上する泥の総重量は单位面積あたりつきのようになる。

$$\frac{\rho_s v_s g}{a} = \frac{\rho_s l g}{1 + w \frac{\rho_s}{\rho_w}} \quad (9) \quad g: 重力加速度$$

粘性底層の破壊周期を  $T_s$  とすると、単位時間、単位面積あたりの浮上量のは次式となる。

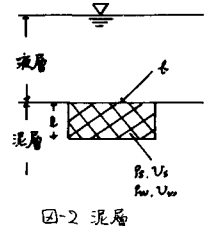


図-2 泥層

$$\phi = \frac{P_s + g}{T_s(1+w)} \quad (10)$$

つぎに泥層の流動化について考察する。泥はBingham流としての挙動を示すと言われており次式を考える。

$$T = \theta + \gamma \dot{\gamma} \quad (11)$$

ただし $\theta$ はBingham降伏値、 $\gamma$ は塑性粘度、 $\dot{\gamma}$ はひずみ速度である。

式(11)の $\theta, \gamma$ は泥層の含水比により大きく変化する。

一般に底面せん断応力として観測されるのは式(11)を平均した次式である。

$$\bar{\tau} = \frac{1}{\sqrt{3}} T_0 \text{ で } \bar{\tau} = 2 P_s u_0 \sqrt{\frac{v'}{T_0}} \quad (12)$$

したがって平均値による議論を行っている場合には、 $\theta > 2 P_s u_0 \sqrt{\frac{v'}{T_0}}$  の場合には泥のまきあげはあこらうことになる。しかし式(12)によれば、 $\bar{\tau}$ がどんなに小さくても $\theta > \bar{\tau}$ となる時間があることがわかる。これは従来より報告されている底泥の限界掃流力がその降伏応力より小さくなるという実験結果にも矛盾するものではない。

ではこの場合には泥層はNewton流体のように扱えるものと差える。泥層とNewton流体と差えたときの動粘度を $\alpha^w$ とする。Newton流体における境界層の長さスケールは動粘度と時間の積の平方根に比例することから、流動化される泥層厚さをつぎのように仮定する。

$$l \sim \sqrt{v' t} \quad (13)$$

泥の粘度は含水比によって変化し、 $\alpha^w$ ( $\alpha$ :定数)に比例するという実験結果がある<sup>3)</sup>。また泥層のみかけの密度は $\frac{P_s v_s + P_w v_w}{v_s + v_w}$ である。したがって $t$ を以下のように表す。

$$t^* = \frac{v' P_s^2 v_0^2}{\pi \theta^2} = \frac{(1+w)}{P_s(1+w)} \alpha^w \quad (14)$$

式(13)の $t$ は $t^*$ の条件を満たしている時間 $t$ に等しいものと考えると式(14)より次式を得る。

$$t^* = \frac{v' P_s^2 v_0^2}{\pi \theta^2} \quad (15)$$

式(12)(15)より $\theta$ と $v'$ をまわすとつぎのようになる。

$$\theta^* = \frac{T_0}{4 \theta^2} - T_0 \quad (16)$$

式(16)の $\theta^*$ を式(13)の $t$ に代入し、さらに式(14)の $\beta$ も代入してつぎの結果を得る。

$$l \sim \frac{T_0}{2 \theta} \sqrt{\frac{T_0(1+w)}{P_s(1+w)}} \alpha^w \quad (17)$$

ただし $\alpha = \sqrt{\alpha^w}$ である。

目標 $g$ まきあげが観測されるためには $\frac{l}{l^*} \geq (\frac{\theta}{\theta^*})^2$ を満たすことが必要であり、 $\frac{l}{l^*} = (\frac{\theta}{\theta^*})^2$ であるときの $\theta$ が限

界掃流力 $\bar{\tau}_c$ であるとすると、限界掃流力と降伏応力との関係は式(17)よりつぎのように考えられる。

$$\frac{\bar{\tau}_c}{\theta} = \left(\frac{\theta}{\theta^*}\right)^2 \frac{P_s T_0(1+w)}{(1+w)} \alpha^w \quad (18)$$

この式は含水比の増加とともに限界掃流力と降伏応力の比の指數的な増加を示している。含水比が100~300%( $w=1\sim3$ )におけるベントナイトによる実験結果<sup>2)</sup>は図-3のように式(18)に矛盾するものではない。本図より $\alpha$ を求めるに約44となる。大坪ら<sup>4)</sup>の示したベントナイトに関する<sup>1)</sup>式 $\alpha = \sqrt{\alpha^w}$ より $\alpha = 2.4 \sim 3.2$ とよりほほよく似た値となる。

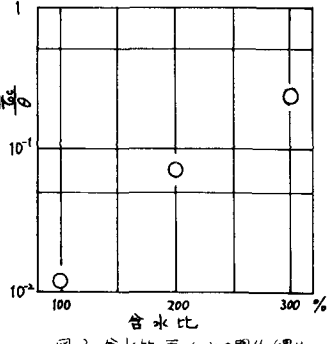


図-3 含水比 $w$ との関係(墨井<sup>2)</sup>による)

同一物性の泥では降伏応力と含水比との間につぎのような実験結果がある。<sup>3)</sup>  $\theta \sim \alpha^w$  (19)

よって式(16)(17)(19)よりつぎの結果を得る。

$$\theta = \alpha \sqrt{\frac{v'}{T_0}} \cdot f(w) \quad (20) \quad \text{ただし } \alpha \text{ は定数。}$$

$f(w)$ は含水比に関する項で次式で与えられる。

$$f(w) = \frac{1}{\sqrt{(1+w) \frac{P_s}{P_w}}} \left( \frac{P_s}{P_w} \right)^w \quad (21)$$

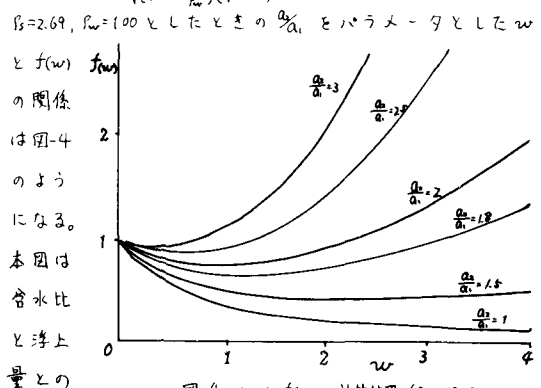


図-4  $w$ と $f(w)$ の計算結果 ( $P_s=2.69, P_w=1.00$ ) 間にはいつも単調傾向があるのではなく、条件により極値が存在することもあることを示唆するものである。

4.あとがき ここでは含水比と浮上量とは必ずしも一意的な相関関係にあるとは言いかたいたいことを指摘した。しかし図-1の傾向を十分に説明したわけではなく、今後、実験精度、モデルの両面からの検討が必要である。

1) Einstein, *Trans. of ASCE* vol. 123, 1928.

2) 墨井達三, 京大卒論稿, 1927.

3) 墨井, 村田, 海田: 第1回地盤工学研究討論会論文集, 1979.

4) 大坪, 村田: 第2回地盤工学討論会論文集, 1981.